

Fig. 2 Monthly variation of water quality

이상의 결과를 통해 영일만의 수질경년변동특성을 살펴보면 영일만내의 수질은 육상으로부터의 담수유입에 따라서 계절별

변동을 나타내며, 대체로 만내 표층보다 저층에서의 수질이 악화되어 있는 것을 알 수 있다. 이는 김기태(1992)가 지적한 바와 같이 (포항)신항 축조와 같은 인위적인 자연변조로 인한 해류의 차단이 막대한 오염원을 항 저층에 축적시키고, 아울러 형산강 하구에 위치한 송도해수욕장의 경우 1992년부터(수질오염으로 3급수 판정) 해수욕장으로서 그 역할을 수행하지 못한다고 지적한 바와 유사한 결과이다.

3.2 수질의 공간분포특성

포항신항 건설 후 영일만내 오염물질거동 패턴을 살펴보기 위해 Fig. 1에서 형산강 하천수 유출경로상에 위치하는 조사정점 2, 9, 8, 13에서의 표층과 저층의 수온, 염분 및 영양염(T-N, T-P) 농도 변화를 갈수기와 홍수기에 대해서 나타낸 것이 각각 Fig. 3 과 Fig. 4이다.

수온의 경우, 갈수기시 형산강에서 유출된 하천수의 영향으로 만중앙부에서 상승, 외해로 갈수록 감소하며, 표층과 저층의 경향은 거의 동일하다. 홍수기시 표층의 높은 수온의 하천수가 만내유입후 외해로 갈수록 감소경향을 나타내지만 저층의 경우는 갈수기시와 유사한 경향을 나타낸다. 염분의 경우, 일반적으로 외해로 갈수록 증가하고, 갈수기시는 표층이, 홍수기시는 저층이 염분농도가 높지만, 정점 8의 경우 표층과 저층이 역전되는 현상을 나타내었다.

영양염의 공간변동특성을 살펴보면 형산강 입구에서 가장 높고, 외해로 갈수록 낮아지는 경향을 T-N, T-P 모두 나타내었다.

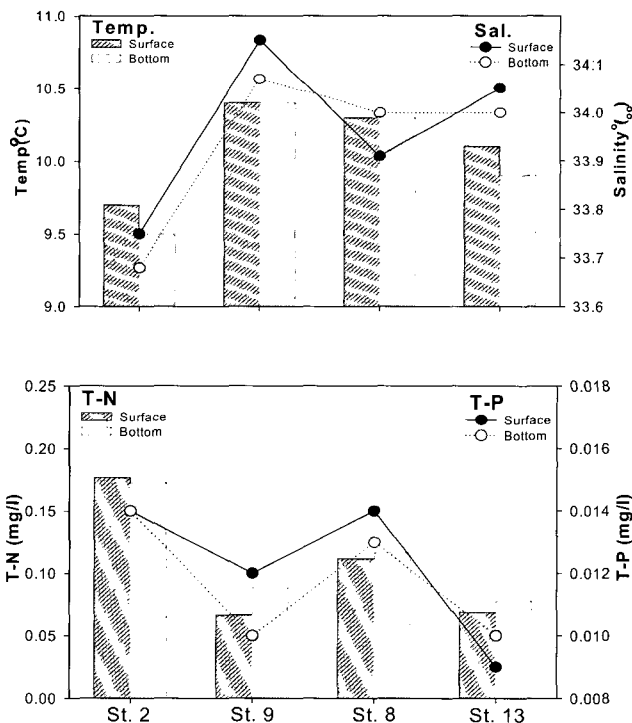


Fig. 3 Spatial distribution of pollutant load(February)

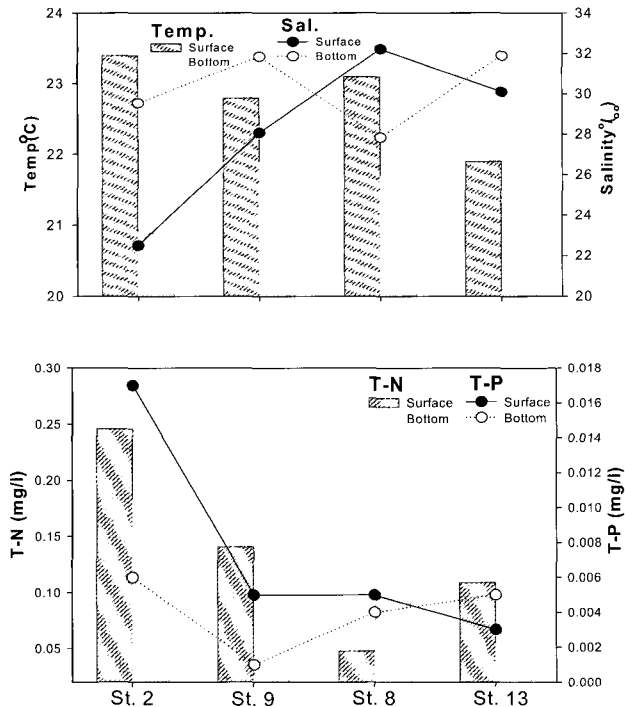


Fig. 4 Spatial distribution of pollutant load(August)

그러나 표층과 저층에서의 영양염 농도는 갈수기시와 홍수기시 다른 경향을 나타내었는데, 갈수기시 형산강 하구 표층에서 높게 나타난 T-N의 농도가 외해로 갈수록 저층이 표층보다 커지는 경향을 나타내고, 홍수기시는 정점 8을 제외하고는 표층이 크고, 저층이 낮으며, 외해로 갈수록 감소하는 경향을 나타내었다. T-P의 해석결과에서도 T-N과 유사한 경향이 보였다.

이상과 같이 형산강으로부터 유출되어진 오염물질의 영일만 내 거동 패턴을 살펴보면 정점 8의 경우(포항제철 제4투기장 전면인근해역)는 염분의 표층과 저층의 역전현상과 주변정점들에 비해서 고농도의 영양염 수괴가 나타나는데, 이는 만내 유동장 특성상 오염물질의 수렴지역이 될 가능성이 높은 것으로 생각되어진다. 또한 영일만에 있어서의 수질상호관련성은 Fig. 5에서와 같이 영양염(T-N, T-P)과 COD의 상관성이 각각 93%, 87%로 매우 높게 나타났으며, 질소와 인의 경우 또한 약 98%의 높은 상관성이 나타남으로써, 거의 선형적인 관계를 보였다.

3.3 수질의 군집분석

Fig. 6과 Fig. 7은 영일만내 6개 항목의 수질자료로부터 포항신항 건설 전(15개 정점)과 건설 후(14개 정점)의 군집분석에 의한 텐드로그램(Dendrogram)과 해역분할도를 나타낸다. Fig. 6에서 포항신항 건설 전인 87년의 경우 형산강 하구역(A), 포항구 항 전면해역(B), 포항신항 인근해역(C), 영일만 중간역(D), 외해(E) 등 크게 4개의 특징적 영역으로 구분하였으며, 97년의 경우는 87년과 달리 냉천 인근해역(D), 임곡동 전면해역(E), 외해영역(F)으로 더욱 세분화되어진다. 이와 같이 영역이 세분화되어지는 것은 만내 수질이 일정한 수괴를 가지지 않고 주변환경에 따라서 영향을 받기 때문으로 생각할 수 있다.

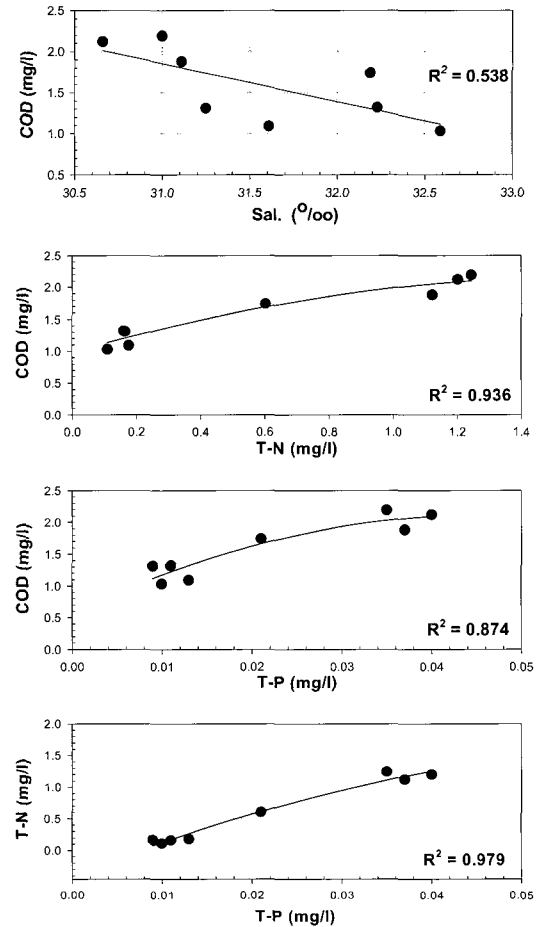


Fig. 5 Relationship of water quality

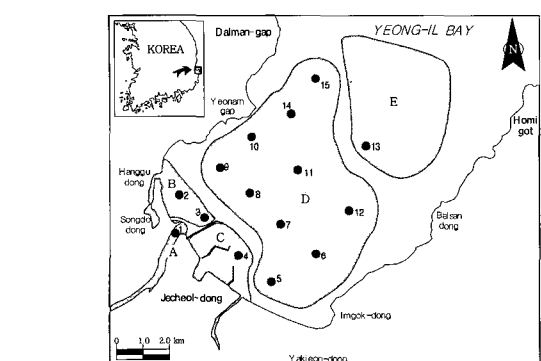
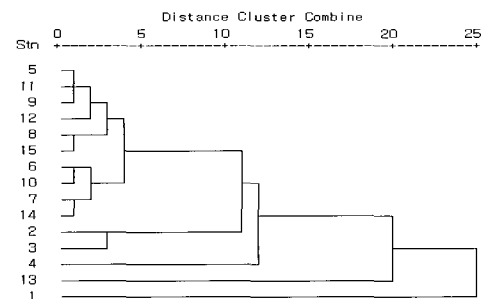


Fig. 6 Dendrogram and division of sea basin by cluster analysis(before construction)

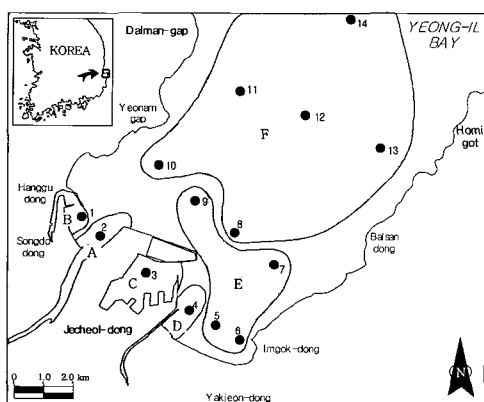
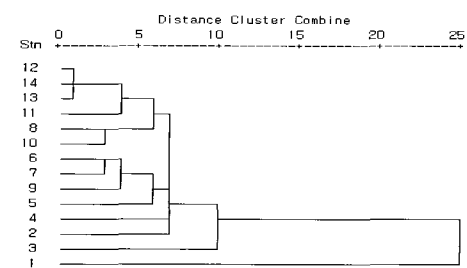


Fig. 7 Dendrogram and division of sea basin by cluster analysis(after construction)

이상과 같이 수질의 군집분석을 통해 포항신항 건설 전·후 해역분할에 따른 수질환경변화의 공간분포를 나타내면 Fig. 8과 Fig. 9와 같다.

건설 전의 경우(Fig. 8) 형산강 하구입구(A)를 제외하고는 염분농도가 약 33.6‰, COD는 1.23~1.6mg/l로 낮게 나타났으며, 영양염의 경우 T-N은 외해로 감에 따라 감소하는 경향을, T-P도 비슷한 경향을 보이고 있으나, 포항구항 인근해역(B)에서 낮고 포항신항 인근해역(C)과 영일만 중간역(D)에서 상대적으로 높은 수치를 나타내었다. 건설 후의 경우(Fig. 9) 염분은 외해 영역(F)을 제외하고는 대체로 낮은 상태를 나타내었고, 포항구항 해역(B)과 포항신항 내부해역(C)에서 상대적으로 낮은 수치를 나타내었다. COD와 DO농도의 지역별 특성을 살펴보면 포항구항 해역(B)과 포항신항 내부해역(C)에서 COD농도가 높고, 특히 포항구항 해역(B)이 낮은 DO 농도를 나타내어 전체 해역 중 가장 수질조건이 악화되어 있다는 것을 알 수 있다. 이에 반해, 영일만의 외해해역(F)은 평균 COD농도가 0.56로 나타났다.

한편, 영양염농도의 변화를 살펴보면, 포항구항이 질소와 인농도가 6개 해역 중 가장 높게 나타났으며, 외해로 감에 따라 감소하는 경향을 보이고 있다. 이상의 결과에서 87년의 경우 영일만 해역은 하구입구를 제외하고는 외해수와의 혼합이 강한 특성을 보이고 있으나, 포항신항 건설 후 외해수와의 해수교환의 차단효과 발생으로 인구밀집지역인 포항구항 인근해역과 포항신항 인근해역이 전반적으로 수질이 악화되어 있음을 알 수 있다.

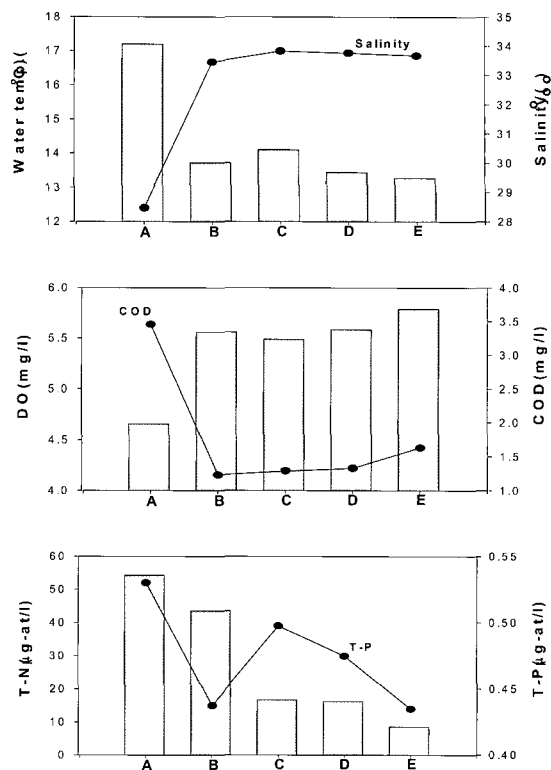


Fig. 8 Change of water quality at each sea basin by dendrogram(before construction)

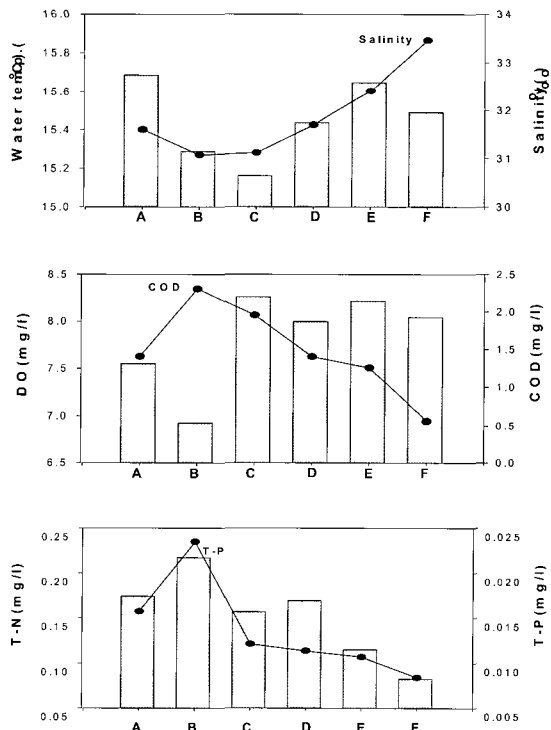


Fig. 9 Change of water quality at each sea basin by dendrogram(after construction)

